

## Магма как гетерогенная среда .

- Физические свойства магм в зависимости от фазового состояния. Режимы течения многофазных сред (гомогенный, пузырьковый, снарядный, дисперсный, пленочный) и их связь с типами извержений.
- Основные уравнения механики сплошной среды (уравнения неразрывности и сохранения импульса).
- Введение в реологию магмы.

**МЕЛЬНИК ОЛЕГ ЭДУАРДОВИЧ**  
**ТЕЛ 939-5476, EMAIL: MELNIK@IMEC.MSU.RU**

# Продукты извержений



Лава < 10%

пузырей



Пемза >50%

# Типы вулканических извержений

## Эксплозивные

На поверхность выходит струя газа  
с частицами магмы



## Экструзивные/Эффузивные

Лава с пузырьками газа





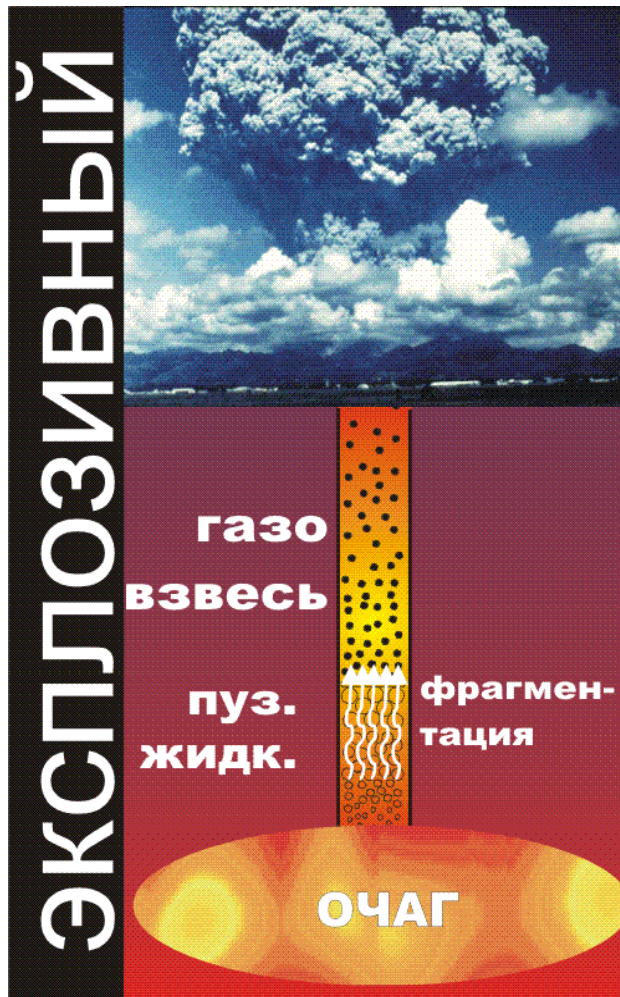




# Схемы режимов извержения

Расход

$10^6\text{-}10^{12}$  кг/с



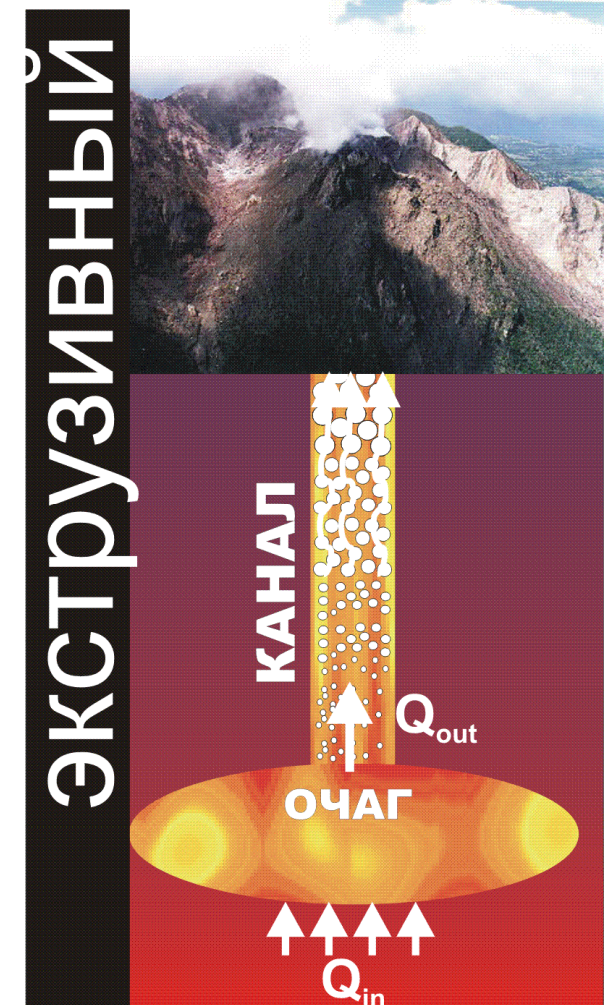
При подъеме магмы из очага в результате падения давления происходит образование и рост пузырьков.

При **экспlosивном** режиме имеет место фрагментация магмы с образование газовзвеси.

При **экструзивном** режиме пузырьки образуют проницаемую пену. Существенен отток газа и кристаллизация магмы.

Расход

$10^2\text{-}10^4$  кг/с



# Эксплозивные извержения

Стромболианские



Короткоживущие 1-2 мин взрывы, вызванные подъемом газового пузыря к жерлу вулкана, высота выброса до нескольких сотен метров

Более продолжительные (до 10-20 мин), характерны для более вязкой магмы, высота выброса до 10 км. Часто приводят к пирокластическим потокам

Мощные, продолжительные (до часов и дней). Высота колонны до 50 км. Приводят к разрушительным последствиям.

# Экструзивные извержения

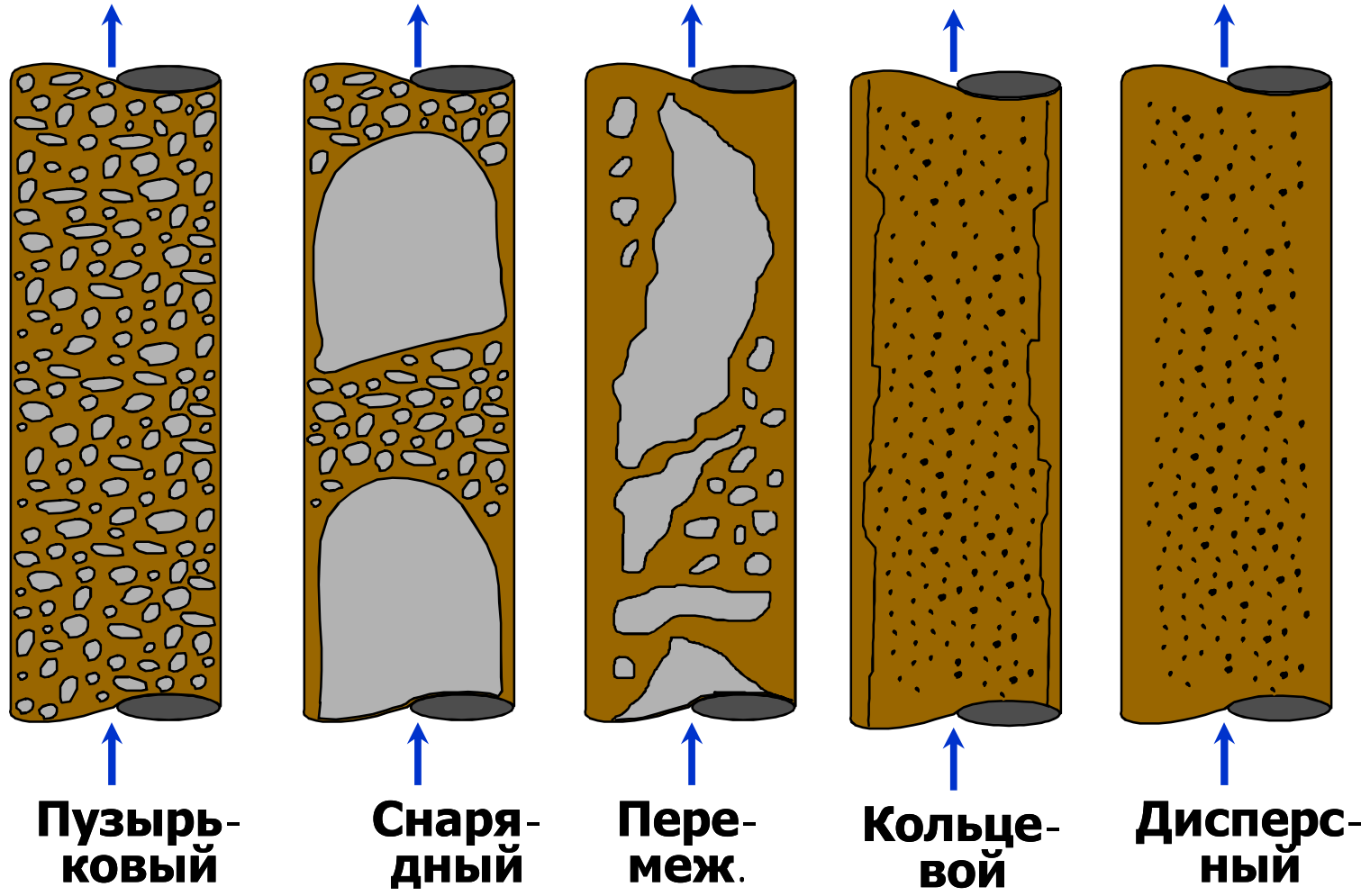


- Лавовые потоки  
(гавайский тип)
- Лавовые купола  
(пелейский тип)

# Летучие – движущая сила извержений

- При больших давлениях различные газы растворены в магме ( $\text{H}_2\text{O}$ ,  $\text{CO}_2$ ,  $\text{HCl}$  и др.)
- Магма может содержать до 10 весовых процентов растворенных газов.
- При подъеме и падении давления происходит нуклеация пузырьков и их последующий рост.
- При взрывных извержениях происходит дробление магмы и вынос ее на поверхность газом.

# Режимы течения газожидкостных сред



**Изменение структуры потока по мере роста доли газа**

# Видео отдельных режимов



1



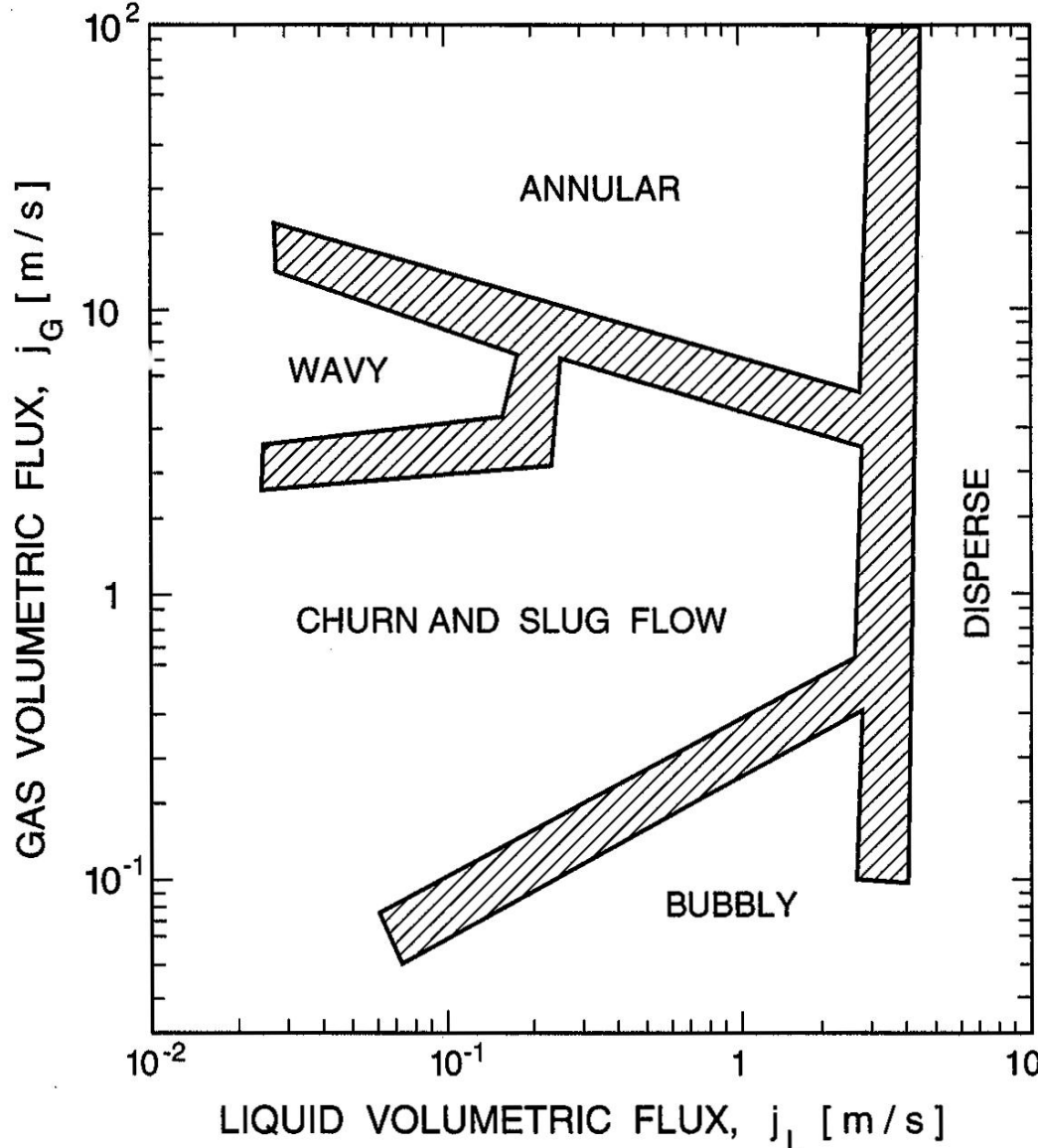
2



3

1. Пузырьковый
2. Кластерный
3. Снарядный

# От чего зависит режим течения?



- Объемной доли газа
- Вязкости жидкости
- Скорости потока
- Геометрии канала
- Способа диспергирования
- ...

На это осях отложены приведенные объемные потоки фаз.

# Вулканические извержения как многофазные течения

Тип извержения	Режим течения
Гавайский Пелейский	Пузырьковый Кластерный
Стромболианский	Снарядный
Вулканский Плинианский	Дисперсный

## НАБЛЮДЕНИЯ

расход магмы  
сейсмические  
сигналы  
деформации  
поверхности  
температура  
высота колонны

## ЛАБОРАТОРНЫЕ ИЗМЕРЕНИЯ

плотность  
вязкость  
термодинамические  
свойства  
Структура

## ПЕТРОЛОГИЧЕСКИЕ ЭКСПЕРИМЕНТЫ

условия подъема магмы  
начальный состав  
кинетические процессы

МАТЕМАТИЧЕСКОЕ МОДЕЛИРОВАНИЕ

ПРОГНОЗ

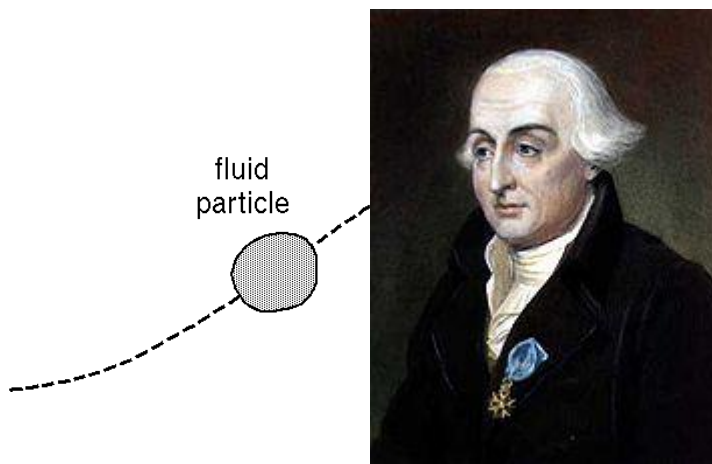
# Уравнения механики сплошной среды

Законы сохранения массы и  
импульса

# Лагранжев

*Joseph Louis Lagrange, 1736-1813*

- Поток среды может быть представлен в виде потока жидких частиц, для которых определены масса, импульс, энергия и начальное положение. Законы движения записываются для каждой частицы и смотрится за ее эволюцией во времени.



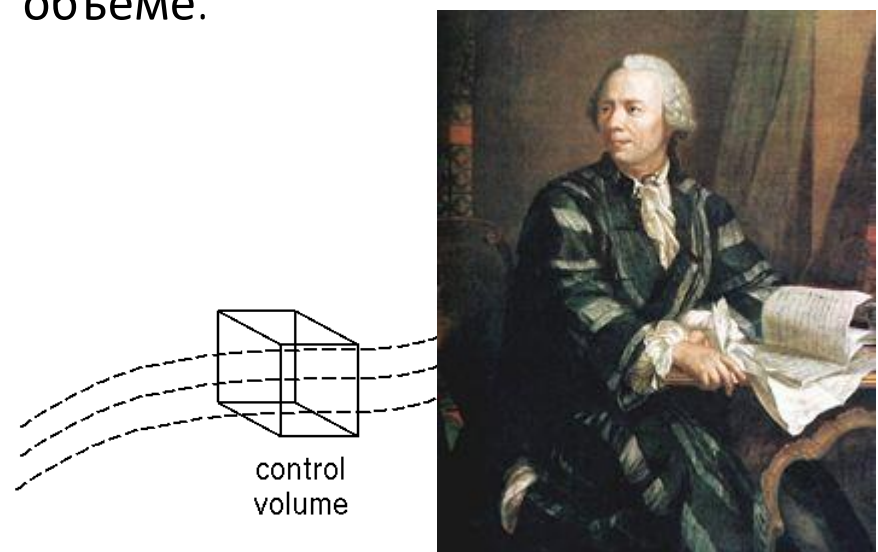
и

# подход

# Эйлеров

*Leonhard Euler; 1707 - , 1783,*

Мы фиксируем элементарный объем сплошной среды с координатами  $(x,y,z)$  и выписываем уравнения для изменения массы, импульса и энергии в этом элементарном объеме.



Данные подходы приводят к одинаковым полям течения, удобство каждого зависит от постановки задачи.

# Ряд Тейлора

- Пусть имеется бесконечное количество раз дифференцируемая функция  $F(x)$
- И мы знаем ее значение в точке  $x_0$
- Тогда:

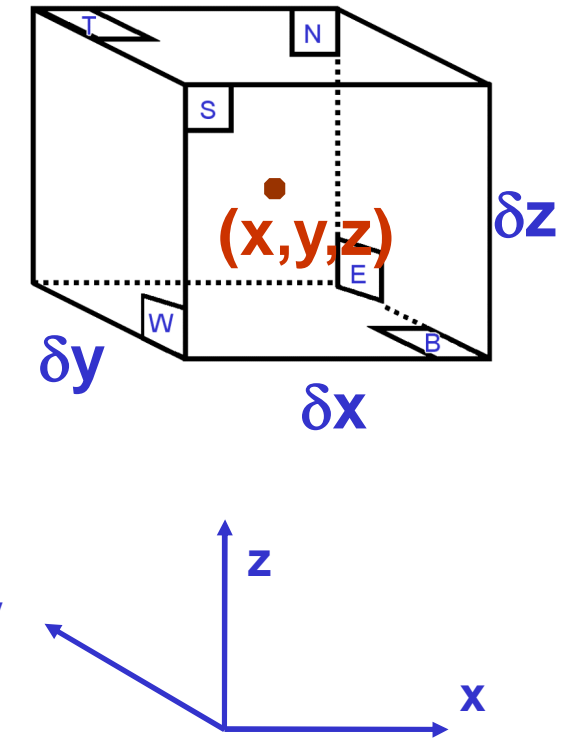
$$f(x) = f(x_0) + f'(x_0)(x - x_0) + \frac{f''(x_0)}{2}(x - x_0)^2 + \frac{f^{(3)}(x_0)}{3!}(x - x_0)^3 + \dots$$



*Brook Taylor, 1685—1731*

# Свойства элементарного объема

- Мы можем описать жидкость в данном элементе с помощью:
  - Скорости  $u$ .
  - Давления  $p$ .
  - Плотности  $\rho$ .
  - Температуры  $T$ .
  - физических свойств  $\mu, C_p, \lambda$

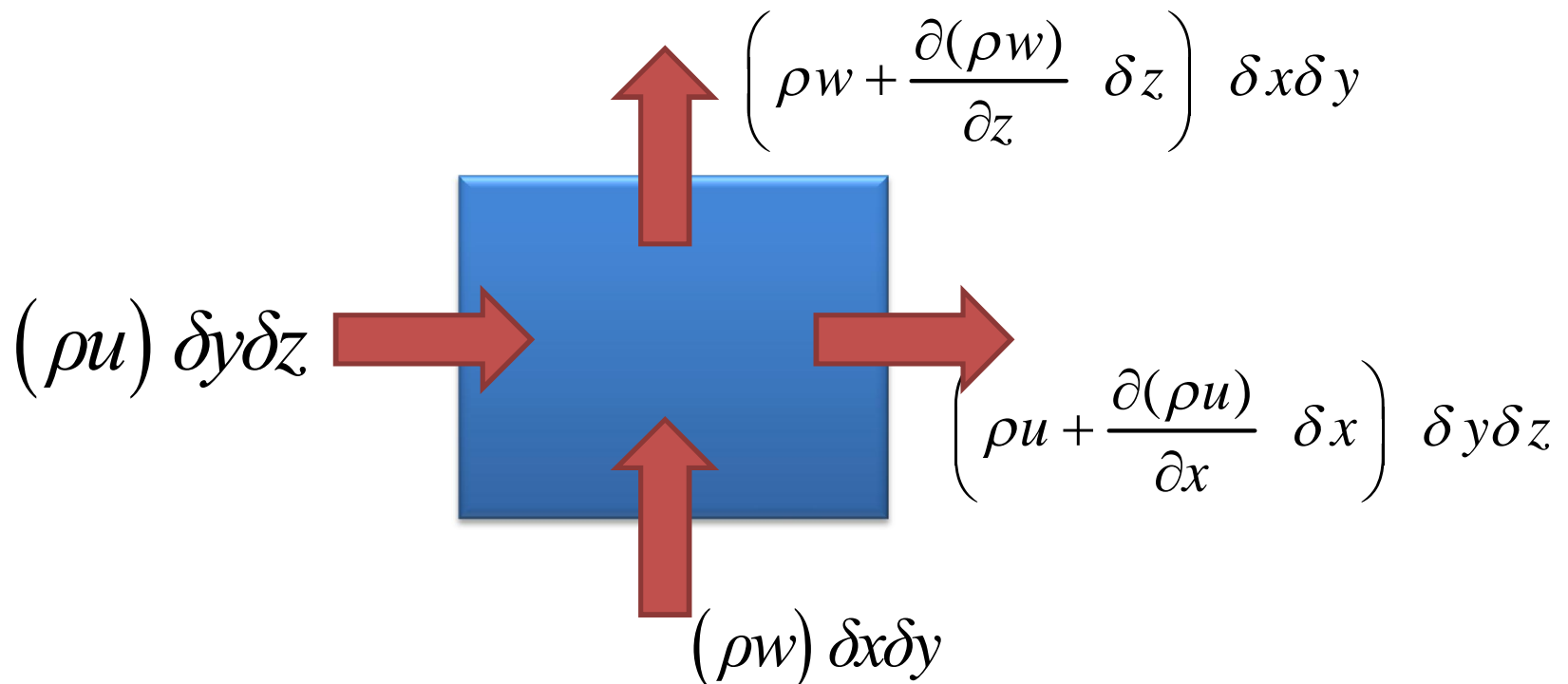


Чтобы определить значения на гранях объема, разложим в ряд Тейлора

$$p : p_W = p - \frac{\partial p}{\partial x} \frac{1}{2} \delta x \quad \text{and} \quad p_E = p + \frac{\partial p}{\partial x} \frac{1}{2} \delta x$$

# Закон сохранения массы

- Изменение массы = приток массы извне
- Изменение массы =  $\frac{\partial}{\partial t}(\rho \delta x \delta y \delta z) = \frac{\partial \rho}{\partial t} \delta x \delta y \delta z$
- Притоки массы к граням определим по значениям на границах ячеек:



# Уравнение неразрывности

- Просуммируем потоки и разделим на  $\delta x \delta y \delta z$ :

$$\frac{\partial \rho}{\partial t} + \frac{\partial(\rho u)}{\partial x} + \frac{\partial(\rho v)}{\partial y} + \frac{\partial(\rho w)}{\partial z} = 0$$

- Векторный вид:  $\frac{\partial \rho}{\partial t} + \operatorname{div}(\rho \mathbf{u}) = 0$

- Для несжимаемой жидкости

$$\partial \rho / \partial t = 0 \rightarrow \operatorname{div} \mathbf{u} = 0$$

- Или в компонентном виде:  $\frac{\partial u}{\partial x} + \frac{\partial v}{\partial y} + \frac{\partial w}{\partial z} = 0$

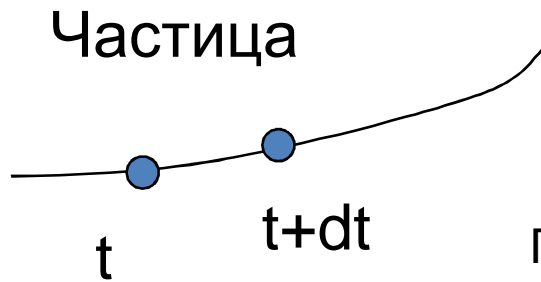
## 2 закон Ньютона



$$m\mathbf{a} = m \frac{d\mathbf{V}}{dt} = \mathbf{F}$$

Ускорение тела  
пропорционально  
равнодействующей сил,  
действующих на него.

# Ускорение жидкой частицы



Пусть в момент  $t$  поле скоростей имеет вид:

$$\vec{V}_{P@time\ t} = \vec{V}(x, y, z, t)$$

После перемещения частицы скорость в той точке, где она оказалась:

$$\vec{V}_{P@time\ t+dt} = \vec{V}(x + dx, y + dy, z + dz, t + dt)$$

Тогда ускорение частицы (изменение ее скорости) происходит как за счет изменения поля скоростей, так и за счет перемещения в другое место.

$$\vec{a}_P = \frac{d\vec{V}_P}{dt} = \frac{\partial \vec{V}}{\partial t} + \frac{\partial \vec{V}}{\partial x} \frac{dx_P}{dt} + \frac{\partial \vec{V}}{\partial y} \frac{dy_P}{dt} + \frac{\partial \vec{V}}{\partial z} \frac{dz_P}{dt}$$

$$= \frac{\partial \vec{V}}{\partial t} + u \frac{\partial \vec{V}}{\partial x} + v \frac{\partial \vec{V}}{\partial y} + w \frac{\partial \vec{V}}{\partial z}. \quad \text{где } u = \frac{dx_P}{dt}, \quad v = \frac{dy_P}{dt}, \quad w = \frac{dz_P}{dt}$$

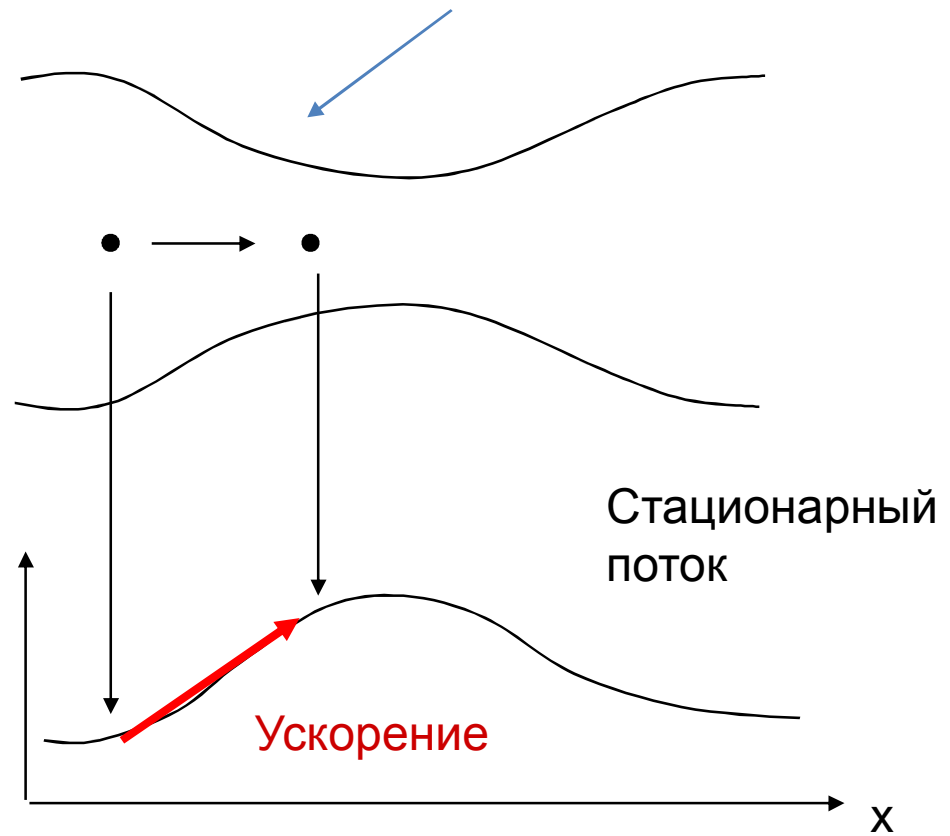
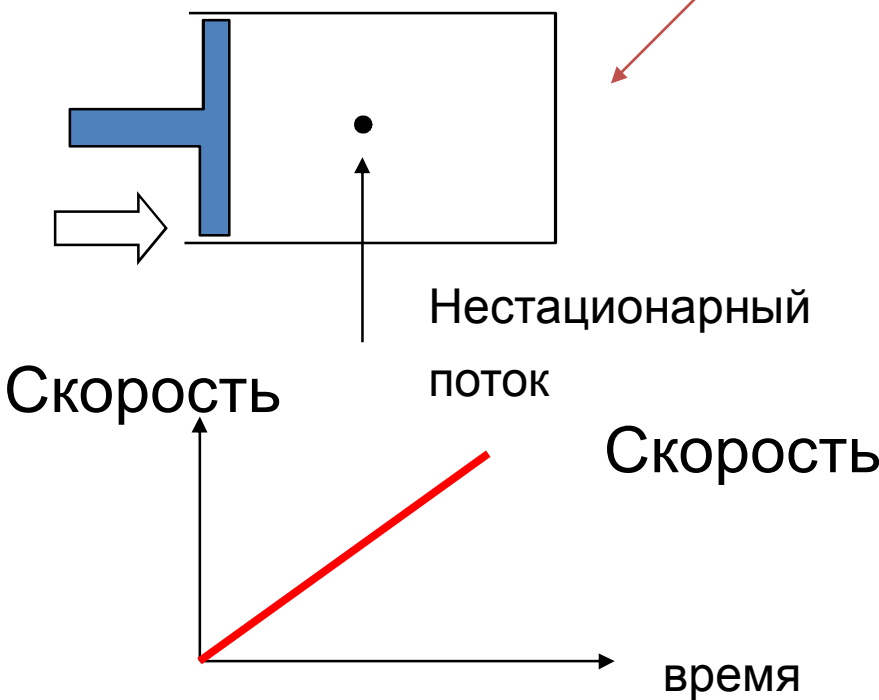
# Физическая интерпретация

$$\vec{a}_P = \boxed{\frac{D\vec{V}}{Dt}} = \boxed{\frac{\partial \vec{V}}{\partial t}} + \boxed{u \frac{\partial \vec{V}}{\partial x} + v \frac{\partial \vec{V}}{\partial y} + w \frac{\partial \vec{V}}{\partial z}}$$

Полное ускорение

Локальное  
ускорение

Конвективное ускорение

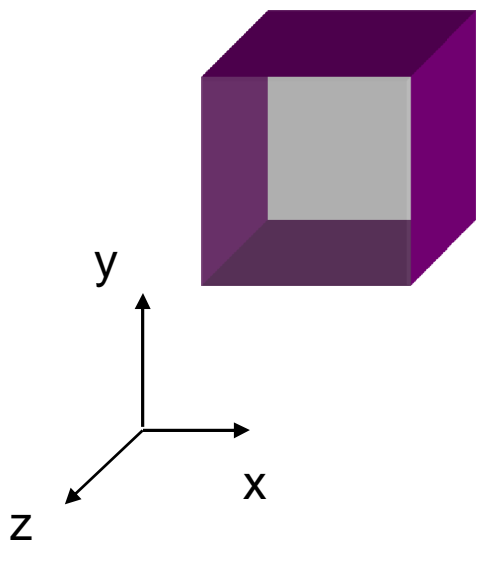


# Сохранение импульса

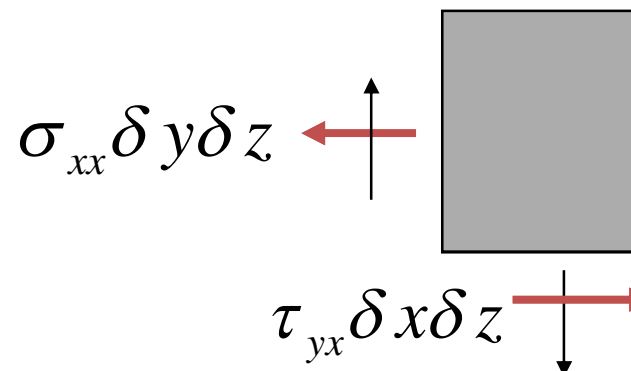
Рассмотрим маленький объем  
жидкости с размерами  $\delta x \delta y \delta z$

Под действием сил он испытывает ускорение

$$m \frac{D\vec{V}}{DT} = \rho \left( \frac{\partial \vec{V}}{\partial t} + V_x \frac{\partial \vec{V}}{\partial x} + V_y \frac{\partial \vec{V}}{\partial y} + V_z \frac{\partial \vec{V}}{\partial z} \right) \{ \delta x \delta y \delta z \}$$



$$\left( \tau_{yx} + \frac{\partial \tau_{yx}}{\partial y} \delta y \right) \delta x \delta z$$



$$\left( \sigma_{xx} + \frac{\partial \sigma_{xx}}{\partial x} \delta x \right) \delta y \delta z$$

## Баланс сил

В направлении оси x:

$$\frac{\partial \sigma_{xx}}{\partial x} \delta x \delta y \delta z + \frac{\partial \tau_{yx}}{\partial x} \delta x \delta y \delta z + \frac{\partial \tau_{zx}}{\partial x} \delta x \delta y \delta z + \rho g_x \delta x \delta y \delta z$$

Нормальное напряжение

Сдвиговое напряжение ( $\tau_{zx}$ : напряжение, действующее на площадку, перпендикулярную оси  $z$  в направлении  $x$ )

Объемная сила

Тогда из 2 закона Ньютона:

$$\frac{\partial \sigma_{xx}}{\partial x} + \frac{\partial \tau_{yx}}{\partial x} + \frac{\partial \tau_{zx}}{\partial x} + \rho g_x = \rho \left( \frac{\partial V_x}{\partial t} + V_x \frac{\partial V_x}{\partial x} + V_y \frac{\partial V_x}{\partial y} + V_z \frac{\partial V_x}{\partial z} \right)$$

# Уравнения движения

∴ **x-component of momentum equation:**

$$\rho \left( \frac{\partial V_x}{\partial t} + V_x \frac{\partial V_x}{\partial x} + V_y \frac{\partial V_x}{\partial y} + V_z \frac{\partial V_x}{\partial z} \right) = \left( \frac{\partial \sigma_{xx}}{\partial x} + \frac{\partial \tau_{yx}}{\partial y} + \frac{\partial \tau_{zx}}{\partial z} \right) + \rho g_x$$

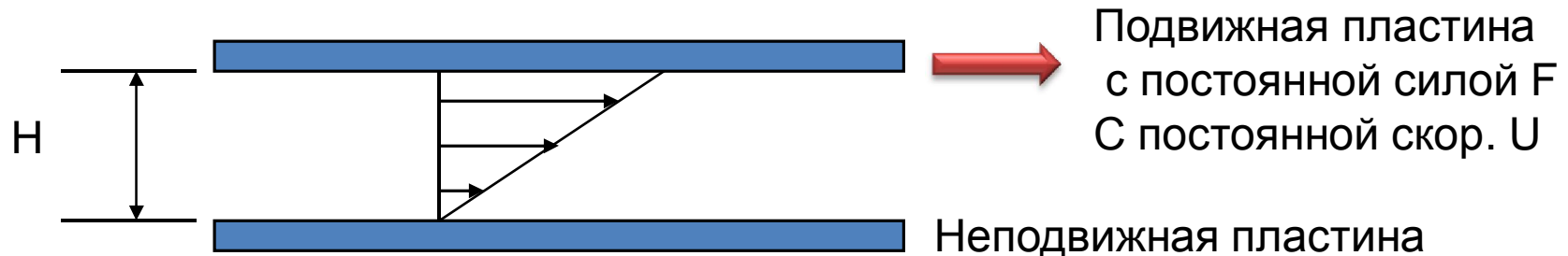
∴ **y-component of momentum equation:**

$$\rho \left( \frac{\partial V_y}{\partial t} + V_x \frac{\partial V_y}{\partial x} + V_y \frac{\partial V_y}{\partial y} + V_z \frac{\partial V_y}{\partial z} \right) = \left( \frac{\partial \tau_{xy}}{\partial x} + \frac{\partial \sigma_{yy}}{\partial y} + \frac{\partial \tau_{zy}}{\partial z} \right) + \rho g_y$$

∴ **z-component of momentum equation:**

$$\rho \left( \frac{\partial V_z}{\partial t} + V_x \frac{\partial V_z}{\partial x} + V_y \frac{\partial V_z}{\partial y} + V_z \frac{\partial V_z}{\partial z} \right) = \left( \frac{\partial \tau_{xz}}{\partial x} + \frac{\partial \tau_{yz}}{\partial y} + \frac{\partial \sigma_{zz}}{\partial z} \right) + \rho g_z$$

# Вязкая жидкость



Из эксперимента ,  $F \propto A(U/H) = A(dV/dy)$

$$\tau = \frac{F}{A} \propto \frac{dV}{dy} \text{ сдвиговое напряжение}$$

$$\tau = \mu \frac{dV}{dy}, \mu - \text{вязкость}$$

# Связь между напряжениями и деформациями

При одномерном движении:

$$\tau_{yx} = \mu \frac{dV_x}{dy}$$

В общем случае:

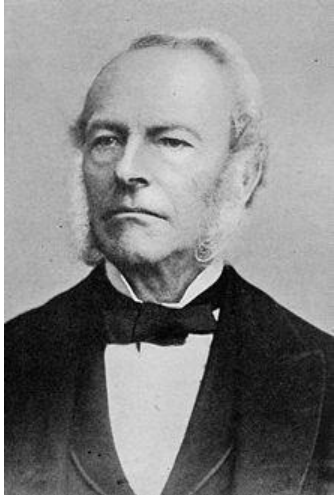
$$(\text{сдвиговое напряжение}) = (\text{вязкость})x(\text{скорость деформации})$$

➤ В декартовых координатах, в трехмерном случае:

$$\sigma_{xx} = -p + 2\mu \frac{\partial V_x}{\partial x} \quad \tau_{xy} = \tau_{yx} = \mu \left( \frac{\partial V_x}{\partial y} + \frac{\partial V_y}{\partial x} \right)$$

$$\sigma_{yy} = -p + 2\mu \frac{\partial V_y}{\partial y} \quad \tau_{yz} = \tau_{zy} = \mu \left( \frac{\partial V_y}{\partial z} + \frac{\partial V_z}{\partial y} \right)$$

$$\sigma_{zz} = -p + 2\mu \frac{\partial V_z}{\partial z} \quad \tau_{zx} = \tau_{xz} = \mu \left( \frac{\partial V_z}{\partial x} + \frac{\partial V_x}{\partial z} \right)$$

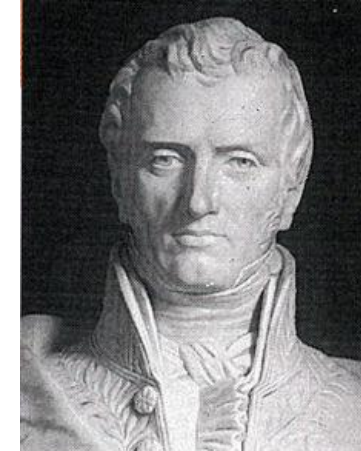


Sir George Gabriel Stokes

# Уравнения Навье -Стокса (1822)

\$1,000,000 за построение общего решения

∴ **x-component :**



Claude Louis Marie Henri Navier

$$\rho \left( \frac{\partial V_x}{\partial t} + V_x \frac{\partial V_x}{\partial x} + V_y \frac{\partial V_x}{\partial y} + V_z \frac{\partial V_x}{\partial z} \right) = - \frac{\partial p}{\partial x} + \rho g_x + \mu \left( \frac{\partial^2 V_x}{\partial x^2} + \frac{\partial^2 V_x}{\partial y^2} + \frac{\partial^2 V_x}{\partial z^2} \right)$$

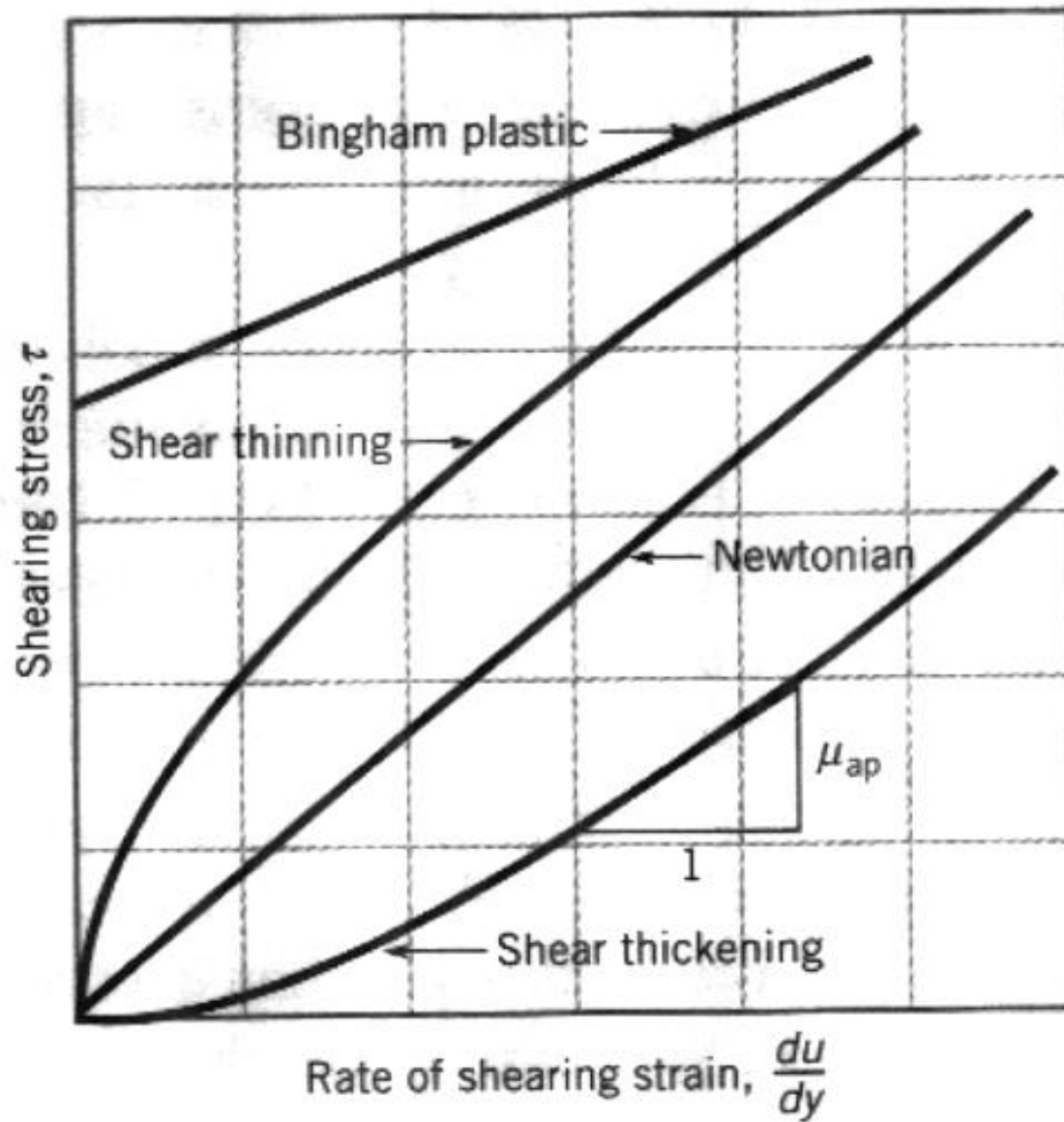
∴ **y-component :**

$$\rho \left( \frac{\partial V_y}{\partial t} + V_x \frac{\partial V_y}{\partial x} + V_y \frac{\partial V_y}{\partial y} + V_z \frac{\partial V_y}{\partial z} \right) = - \frac{\partial p}{\partial y} + \rho g_y + \mu \left( \frac{\partial^2 V_y}{\partial x^2} + \frac{\partial^2 V_y}{\partial y^2} + \frac{\partial^2 V_y}{\partial z^2} \right)$$

∴ **z-component :**

$$\rho \left( \frac{\partial V_z}{\partial t} + V_x \frac{\partial V_z}{\partial x} + V_y \frac{\partial V_z}{\partial y} + V_z \frac{\partial V_z}{\partial z} \right) = - \frac{\partial p}{\partial z} + \rho g_z + \mu \left( \frac{\partial^2 V_z}{\partial x^2} + \frac{\partial^2 V_z}{\partial y^2} + \frac{\partial^2 V_z}{\partial z^2} \right)$$

# Неньютоновские жидкости



$$\tau_{yx} = \mu \frac{dV_x}{dy}$$

$$\mu = \text{const}$$

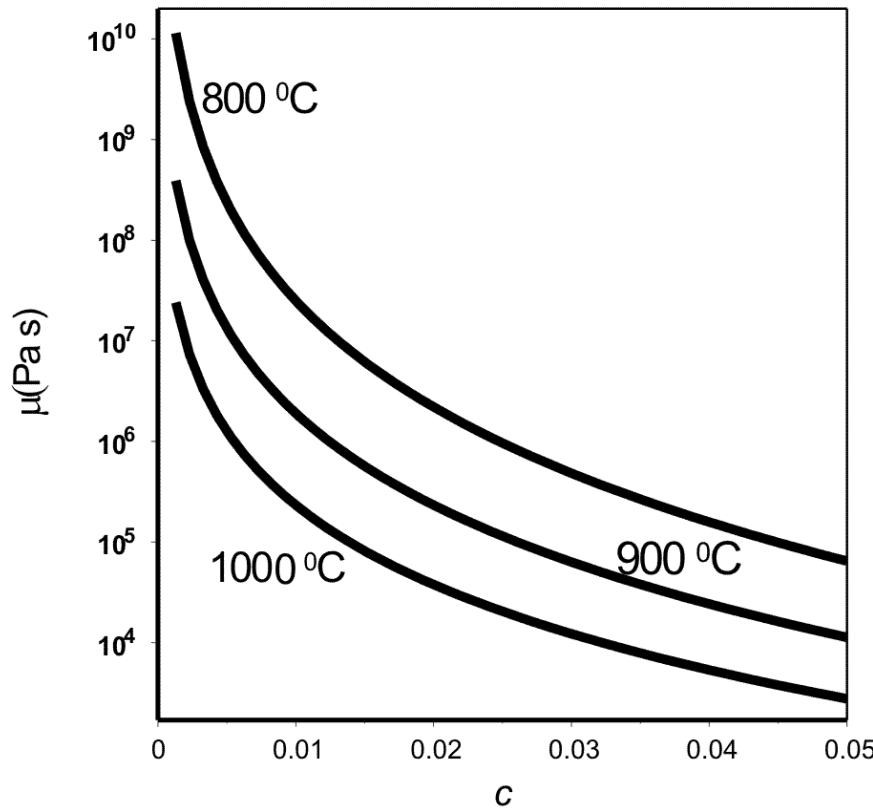
$$\mu = F\left(\frac{dV_x}{dy}, \tau_Y, T, X\right)$$

$$\mu = A\left(\frac{dV_x}{dy}\right)^n$$

# Реология магмы (расплава)

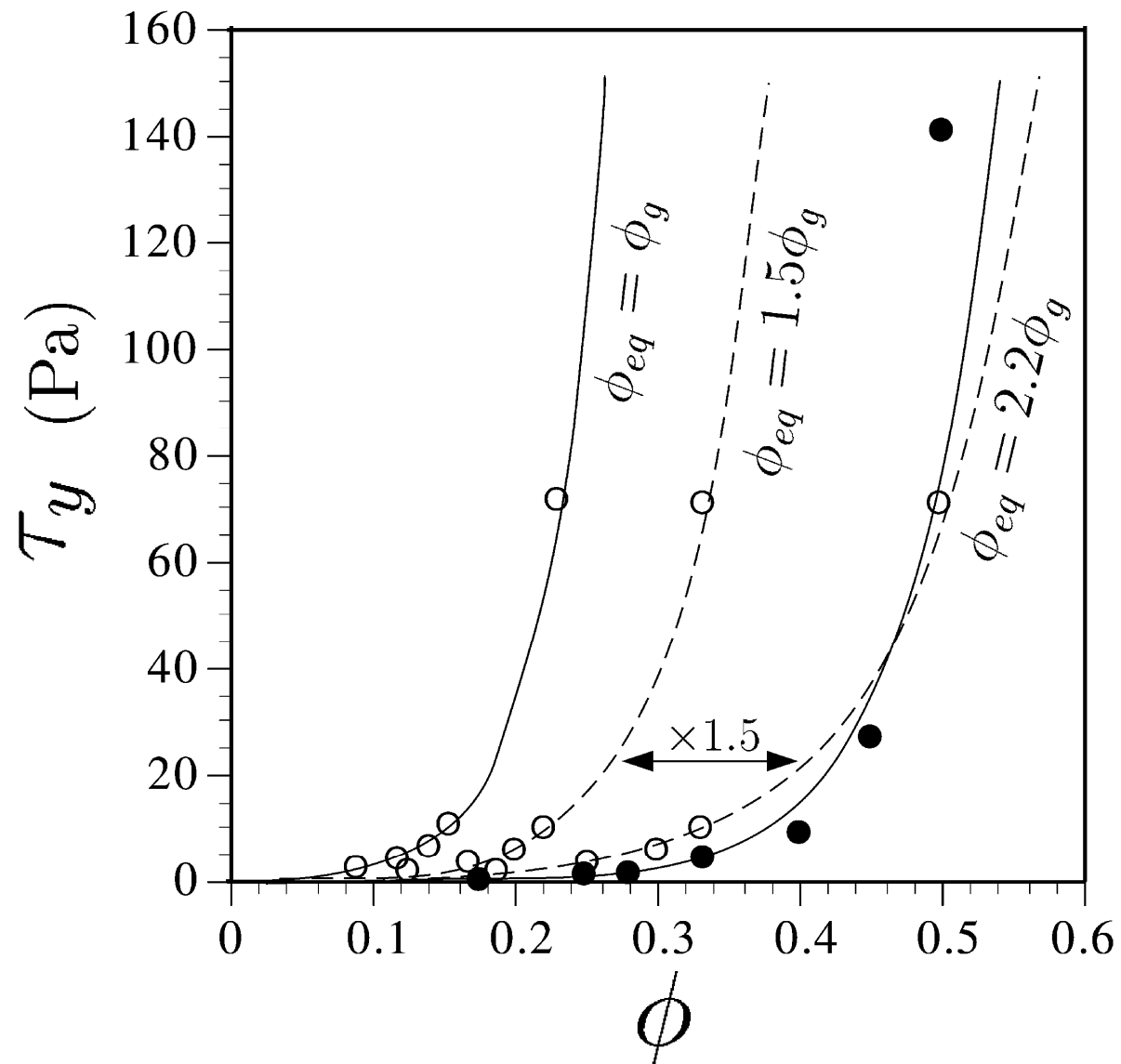
$$\mu = F \left( \frac{dV_x}{dy}, \tau_Y, T, X \right)$$

Hess K-U, Dingwell DB (1996)  
Viscosities of hydrous leucogranitic  
melts: a non-Arrhenian model. Am  
Mineral 81:1297–1300



Сильная зависимость вязкости  
расплава от температуры и  
концентрации растворенной воды.

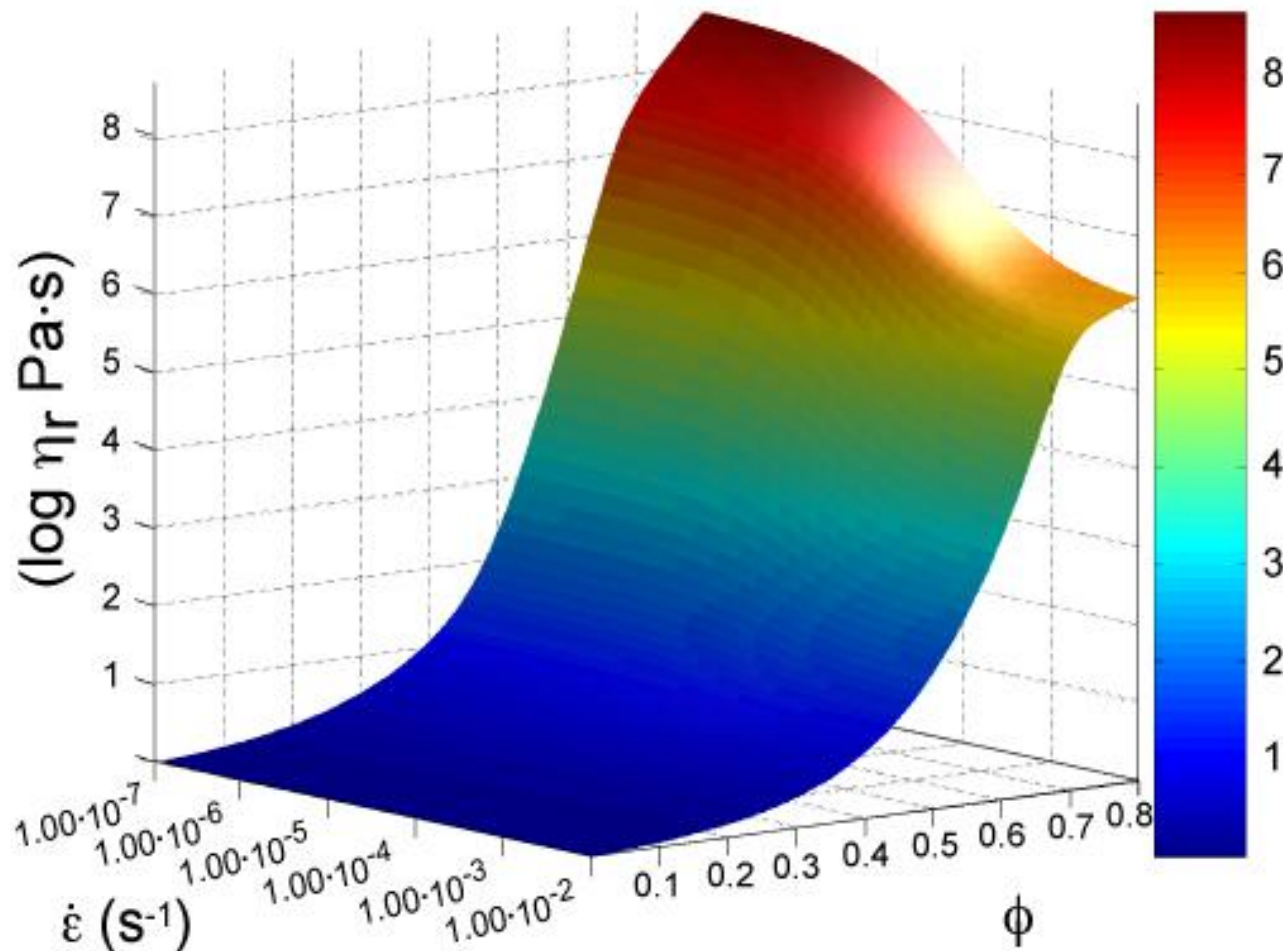
# Предел текучести



M.O. Saar et al.  
/Earth and Planetary  
Science Letters 187  
(2001) 367-379

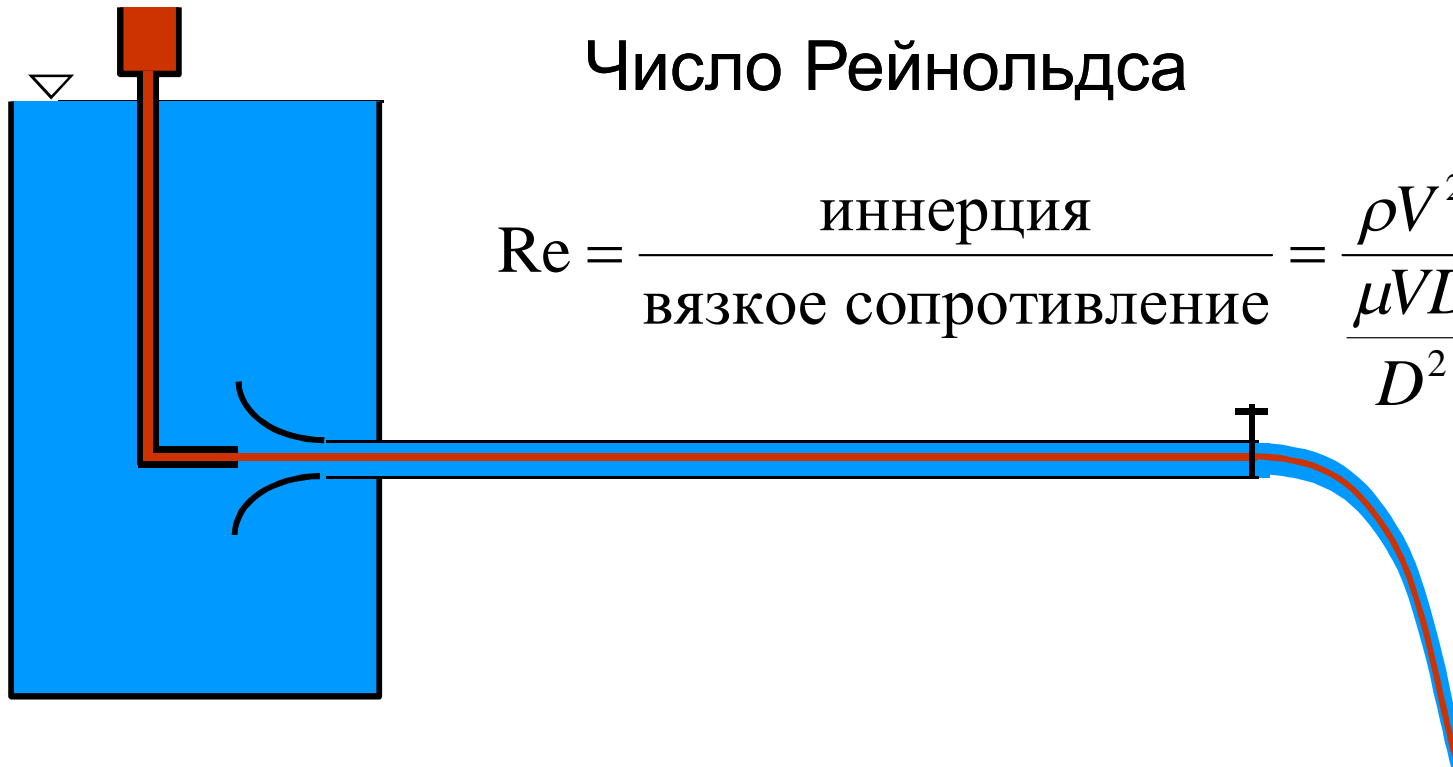
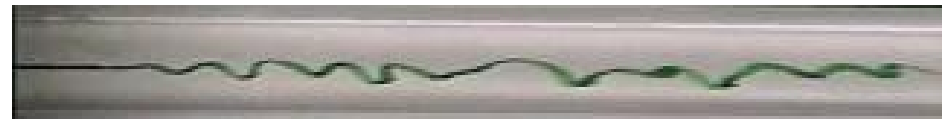
# Зависимость от концентрации кристаллов и скорости сдвига

Luca Caricchi, Luigi Burlini, Peter Ulmer, Taras Gerya, Melissa Vassalli and Paolo Papale **Non-Newtonian rheology of crystal-bearing magmas and implications for magma ascent dynamics**



# Ламинарные и турбулентные течения

Опыт Рейнольдса



Число Рейнольдса

$$Re = \frac{\text{иннерция}}{\text{вязкое сопротивление}} = \frac{\rho V^2}{\mu V D} = \frac{\rho V D}{\mu D^2}$$

# Движение магмы в канале

Критическое число Рейнольдса ~ 2000

Канал – 50 м

Вязкость  $10^5$  Па с

Скорость 1 м/с

Плотность 2500 кг/м<sup>3</sup>

$$Re = \frac{\rho V D}{\mu} = \frac{2500 * 1 * 50}{10^5} = 1.25$$

**ДВИЖЕНИЕ ЛАМИНАРНО!**

Для газовзвеси

Канал – 50 м

Вязкость  $10^{-5}$  Па с

Скорость 100 м/с

Плотность 10 кг/м<sup>3</sup>

$$Re = \frac{\rho V D}{\mu} = \frac{10 * 100 * 50}{10^{-5}} = 5 \times 10^9$$

**ДВИЖЕНИЕ ТУРБУЛЕНТНО!**

## Итак:

- Мы узнали, что магма многофазная среда, режим движения которой определяется газосодержанием
- Нашли соответствие типов извержений и режимов течения многофазных сред.
- Вывели страшные уравнения, которые описывают движение жидкости.
- Выяснили от чего зависит вязкость магмы.
- На следующей лекции найдем некоторые полезные решения